

**В. В. Фінчук<sup>1</sup>, І. М. Скопиченко<sup>2</sup>**

## **РЕЗУЛЬТАТИ ПРОГНОЗУВАННЯ СКУПЧЕНЬ ВУГЛЕВОДНІВ НА НАРІЖНЯНСЬКІЙ ПЛОЩІ ДНІПРОВСЬКО-ДОНЕЦЬКОЇ ЗАПАДИНИ ЗА ДАНИМИ ЕЛЕКТРОРОЗВІДУВАЛЬНИХ РОБІТ МЕТОДОМ ТОЧКОВИХ ЕЛЕКТРОМАГНІТНИХ ЗОНДУВАНЬ**

(Рекомендовано д-ром геол.-мінерал. наук А. Я. Радзівіллом)

Наріжнянське підняття розташоване в східній частині Дніпровсько-Донецької западини на південному сході України. Це північна частина Воронезького кристалічного масиву, яка є частиною антиклинальної структури. На території Наріжнянської площини розташовані залежі вуглеводородів, які були виявлені в ході геофізичних досліджень методом електромагнітного зондування (TEMZ). Ці залежі є частиною антиклинальної структури, яка є частиною антиклинальної структури. На території Наріжнянської площини розташовані залежі вуглеводородів, які були виявлені в ході геофізичних досліджень методом електромагнітного зондування (TEMZ). Ці залежі є частиною антиклинальної структури, яка є частиною антиклинальної структури.

Narizhnyanske raise is located in the northeastern part of the Dnieper-Donets Basin (DDB), on the southern slope of the Voronezh crystalline massif and is part of a large anticlinal structure. The productive complex of the Precambrian crystalline basement, as in the northern flank of the DDB is a promising new target of exploration for hydrocarbon deposits in this region. Electroprospecting investigated using electromagnetic sensing point (TEMZ method) were performed on Narizhnyanska area to predict hydrocarbon deposits in the Visean and Serpukhov layers of the Lower Carboniferous and Bashkirian layer of the Middle Carboniferous, as well as to clarify the structure of the dissenting relief that escapes deposits within the structural zone. Studies have shown that the most promising areas Narizhnyanska area in terms of availability of hydrocarbons are Narizhnyanska, Rogivska and northern part of Burivska structure. The results of the work showed that the method of point electromagnetic soundings can be used in a complex exploration for hydrocarbons in the study of seismic or other abnormalities, determining the depth of bed with the anomalous electromagnetic properties which are promising for hydrocarbon accumulations. Application of TEMZ method in the preliminary stages of oil exploration and gas production may contribute to more efficient production wells and thus reduce the cost of exploration.

Наріжнянське підняття розташоване в північно-східній частині Дніпровсько-Донецької западини (ДДЗ) на південному схилі Воронезького кристалічного масиву і є частиною великої антиклінальної структури [1].

Продуктивний комплекс докембрійського кристалічного фундаменту у цьому районі, як і в північному крилі ДДЗ, є новим перспективним об'єктом пошуково-розвідувальних робіт на вуглеводневі поклади. У породах фундаменту виявлено п'ять родовищ, які розташовані на північному борту западини (Юліївське нафтогазове, Чернетчинське, Наріжнянське і Коробочківське газоконденсатні) і в самій пограничній зоні грабена (Хуринське нафттове родовище). Найбільш перспективними вважаються ділянки північного борту ДДЗ і вузькі (шириною 4–7 км) прироздломні зони біля північного та південного крайових порушень [2].

Електророзвідувальні дослідження методом точкового електромагнітного зондування (TEMZ)

проводилися на Наріжнянській площі з 2003 р. для прогнозування покладів вуглеводнів (ВВ) у відкладах візейського і серпуховського ярусів нижнього карбону та башкирського яруса середнього карбону, а також уточнення структури незгідного скиду, який екранує поклади в межах структурної зони.

Метод базується на збудженні імпульсного електромагнітного поля в середовищі генераторними петлями і вимірюванні результату цієї взаємодії приймальними петлями малих розмірів. Основною особливістю генераторних петель є висока напруженість первинного поля в їх центрі, що значно перевищує значення напруженості первинних полів, які утворюються петлями великих розмірів – 50x50, 100x100, 200x200 м і більше.

Напруженість вторинного електромагнітного (наведеного) поля ( $Vt/I$ ), що досліджується методом TEMZ, залежить від активної та реактивної провідності середовища (властивості, що залежать від літологічного складу порід), впливу ефекту індукційно-наведеної поляризації (ІНП),

© В. В. Фінчук, І. М. Скопиченко, 2011

величини магнітної сприйнятливості, напрямку вектора намагнічування і частоти збуджуючого електромагнітного поля. Вплив ефекту ІНП виражається в зниженні або підвищенні провідності розрізу, що досліжується, і визначається взаємовідношеннями напрямків вектора орієнтаційної (первинної) поляризації обсягу седовища і вектора збуджуючого поля.

За інформативністю, швидкістю отримання даних та їх обробки, а також, враховуючи порівняно низьку вартість, технологія ТЕМЗ рекомендована для впровадження у виробництво ВАТ "Татнефть" (Республіка Татарстан, РФ) як складова комплексу пошуково-розвідувальних робіт для прогнозування пластових покладів ВВ.

Основні положення теорії методу, методика проведення польових робіт та технологія інтерпретації детально викладені в роботах [4, 5].

Польові роботи виконано по 23 профілях, що перетинають Наріжнянську, Рогівську, Шилівську і Бурівську структури, з метою виявлення та оконтурення електромагнітних аномалій.

Електромагнітні зондування здійснено на апаратурі "Цикл-Мікро", яка має лінійну шкалу вимірювань часових затримок в інтервалі 10–10 000 мкс.

У процесі роботи реєструвалась вертикальна компонента вторинного електромагнітного поля (ВЕП) ( $dB_z / dt$ ) при прямій і зворотній полярностях в приймальній петлі (величини напруженості ВЕП  $Vt_{\text{пр}}/I$ ,  $Vt_{\text{зв}}/I$ ). При пошукових дослідженнях проведено вимірювання з повтореннями для визначення величин відносних часових змін напруженості вторинного поля (цей параметр надалі позначається як  $dV_{\text{пр}}$ ,  $dV_{\text{зв}}$ ). Прив'язка пунктів зондувань надр на місцевості виконана приладом GPS-72.

Сумарна довжина 14 пошукових профілів складає 89,25 км (рис. 1). Проведені також деталізаційні роботи в межах зони незгідного скиду (вісім профілів сумарною довжиною 90,3 км) з метою підтвердження і локалізації електромагнітних аномалій, виділених на пошуковій стадії роботи. Отримано інформацію про 3 138 806 часових вимірювань напруженості вторинного електромагнітного поля.

При обробці польових результатів електромагнітних робіт використано криві напруженості ВЕП  $V(t)/I$ , двічі виміряні у двох полярностях у приймальній петлі ( $Vt_{\text{пр}}/I$ ,  $Vt_{\text{зв}}/I$ ), та координати пунктів ТЕМЗ.

Для виділення локальних площинних пластових аномалій досліджено усереднені в інтервалах різних глибин такі електромагнітні параметри:

а)  $nF_{\text{сум.серед.}}$  – нормовані усереднені (інтервали глибин досліджень 10–5000 м) значення сумарних величин вертикального градієнта зміни напруженості ВЕП  $F_i$  при прямій і зворотній полярностях в приймальній петлі;

б)  $dV_{\text{зв.серед.}}$  – усереднені (інтервали глибин 3370–3600 м) величини часових змін напруженості ВЕП при зворотній полярності в приймальній петлі;

в)  $d1F_{\text{сум.серед.}}$  – усереднені (інтервали глибин 3500–3600 м) значення горизонтальної похідної між двома сусідніми точками спостережень від величин сумарного вертикального градієнта зміни напруженості ВЕП  $F_i$  при прямій і зворотній полярностях в приймальній петлі.

Після узагальненого аналізу карт і вертикальних розрізів параметрів  $dV_{\text{зв.}}$ ,  $nF_{\text{сум.}}$ ,  $Rt_{\text{зв.}}$ ,  $Rt_{\text{пр.}}$  зроблено висновки про наявність електромагнітних аномалій, визначені їхні просторові межі.

Всі розрахунки виконано з використанням авторської програми "Feniks", оформлення рисунків проведено з використанням програми "Surfer".

Карти електромагнітних параметрів створювались в масштабі 1:100 000, вертикальні розрізи – в масштабі 1:50 000. На вертикальних розрізах зліва цифрами позначено глибини досліджень, знизу – пікети зйомки.

Перед інтерпретацією первинних матеріалів було досліджено електромагнітні особливості ділянок відомих свердловин С-1-н, С-21, С-2, С-3, С-4, С-5, С-9, С-16, С-18, а також тектонічних порушень і позитивних структур, виділених за даними сейсморозвідки.

На першому етапі обробки первинних матеріалів побудовані карти різних електромагнітних параметрів, визначена можливість виділення локальних аномалій над відомим Наріжнянським газоконденсатним родовищем. В межах зони незгідного скиду виділені локальні аномалії, подібні Наріжнянській.

На другому етапі складені вертикальні розрізи електромагнітних параметрів. На них визначені профільні пластові аномалії, подібні виділені за результатами пошукових та деталізаційних робіт на Наріжнянському прояві. Отримані результати покладені в основу пошукової моделі для всієї площини робіт ТЕМЗ.

На третьому етапі визначено території, в межах яких виявлені площинні і профільні пластові електромагнітні аномалії, а також ділянки з профільними пластовими аномаліями на кількох профілях ТЕМЗ (поодинокі профільні аномалії не розглядаються як перспективні на знаходження покладів вуглеводневої сировини).

На території досліджень виділено чотири зони позитивних і негативних значень електромагнітних параметрів. Просторові межі зон, в цілому, збігаються з тектонічними порушеннями, виділеними за даними сейсморозвідки, особливо крайове порушення в південній частині площини, або мають спільне просторове спрямування (рис. 2).

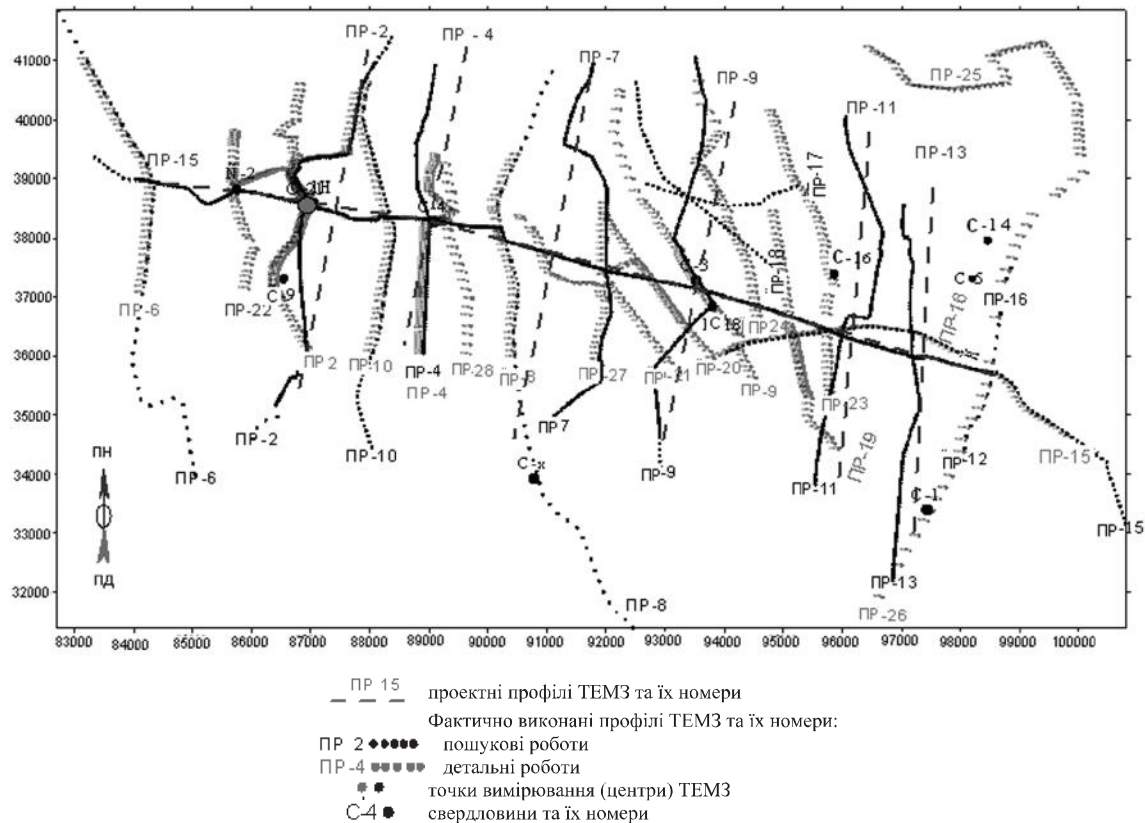


Рис. 1. Карта розміщення профілів ТЕМЗ на Наріжнянській площині

На карті видно, що Південне розривне порушення зони незгідного скиду характеризується максимальними нормованими значеннями вертикального градієнта зміни напруженості вторинного поля  $nF_{\text{сум.серед.}}$ . Такі особливості типові для розущільнених порід зон розтягування, що узгоджується з даними сейсморозвідки. Північне розривне порушення зони характеризується мінімальними значеннями параметра  $nF_{\text{сум.серед.}}$ . Подібні особливості властиві породам зон стиснення, що також узгоджується з даними сейсморозвідки (розривне порушення – незгідний скид). На думку авторів, зони розущільнених порід є каналами міграції ВВ, а зони стиснення – бар'єрами, де вони акумулюються. Таким чином, найбільш перспективними для скупчення ВВ є зони, де аномалії максимальних значень параметра  $nF_{\text{сум.серед.}}$  знаходяться в південній частині площини, а аномалії мінімальних значень параметра – в північній.

Наріжнянська, Рогівська і північна частина Бурівської структури розташовані в межах подібних площових аномалій.

На Наріжнянській площі виділено три локальні (позитивні) аномалії значень параметра  $dV_{\text{зв.серед.}}$ . В межах цих аномалій при повторних спостереженнях в зворотній полярності в прий-

мальні петлі ВЕП зростає. Подібні аномалії виникають за рахунок ефекту індукційно наведеної поляризації. Вони просторово збігаються з Наріжнянською (1), Рогівською (2) і Шилівською (3) позитивними структурами (рис. 2). Можливо, ці аномалії пов'язані з літологічними особливостями частини дослідженого розрізу або зі зменшеними значеннями магнітної проникності, характерної для вуглеводневих родовищ.

На вертикальному розрізі по профілю ПР 2, який проходить в центральній частині Наріжнянської структури (рис. 3) поблизу св. С-1 на глибині 3400–3600 м виділена пластова електромагнітна аномалія Ан 2-1.

Варто відмітити, що св. С-1 знаходиться в зоні більш інтенсивних значень параметра  $nF_{\text{сум}}$ . Шар ВВ виділяється позитивною аномалією  $dV_{\text{зв}}$ , (збільшення напруженості ВЕП при повторних вимірюваннях).

Покрівля аномалії збігається із зоною переходу від позитивних значень параметра  $nF_{\text{сум}}$  до негативних. Зменшення значень цього параметра пов'язано із заводненістю горизонтів, що підстилають скupчення ВВ. Можливо, що саме таке розміщення шарів ВВ і заводнених горизонтів є перспективним на знаходження скupчень останніх.

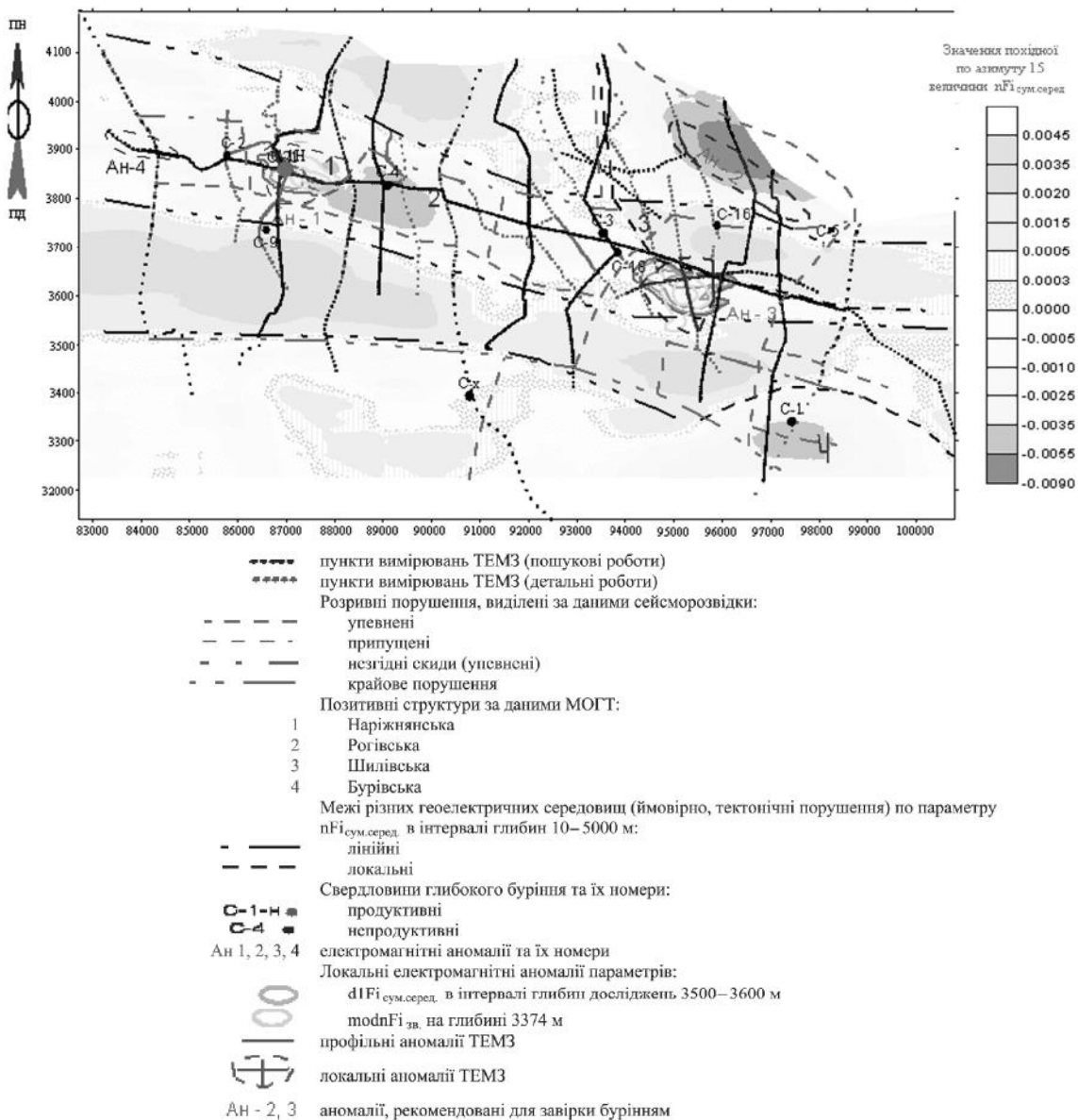


Рис. 2. Карта електророзвідки ТЕМ3 Наріжнянської площа

В межах площи св. С-9 (ПК 3300) подібного геоелектричного розрізу не визначено. Позитивні аномалії параметра  $dV_{3B}$  в нижній частині розрізу пов'язані із зоною контакту покрівлі кристалічного фундаменту.

На вертикальному розрізі ПР 4, який проходить в західній частині Рогівської структури (рис. 4) видно, що св. С-4 (ПК 4000) знаходиться в межах зони зменшених значень параметра  $nF_{\text{sum}}$ . На глибинах залягання продуктивних горизонтів (3400–3700 м) виділяється пластова аномалія зменшених значень параметра, пов'язана з обводненими горизонтами. Позитивні аномалії параметра  $dV_{3B}$  не схожі на Ан 2-1. Вони розташо-

вані в покрівлі порід кристалічного фундаменту і, можливо, пов'язані із зонами розущільнення. В межах ПР 4 не визначено аномалій, перспективних на ВВ.

На вертикальному розрізі ПР 11, який проходить в східній частині Бурівської структури (рис. 5), видно, що св. С-16 (ПК 3800) знаходиться в зоні середніх значень параметра  $nF_{\text{sum}}$ . В її межах не виділено позитивних аномалій параметра  $dV_{3B}$ . На профілі високремлена одна позитивна аномалія параметра  $dV_{3B}$ , яка розташована в зоні збільшених значень параметра  $nF_{\text{sum}}$ . Аномалія АН 11-2 (ПК 4600–5600, глибини прояву 3500–4000 м) є певною мірою перспективною на

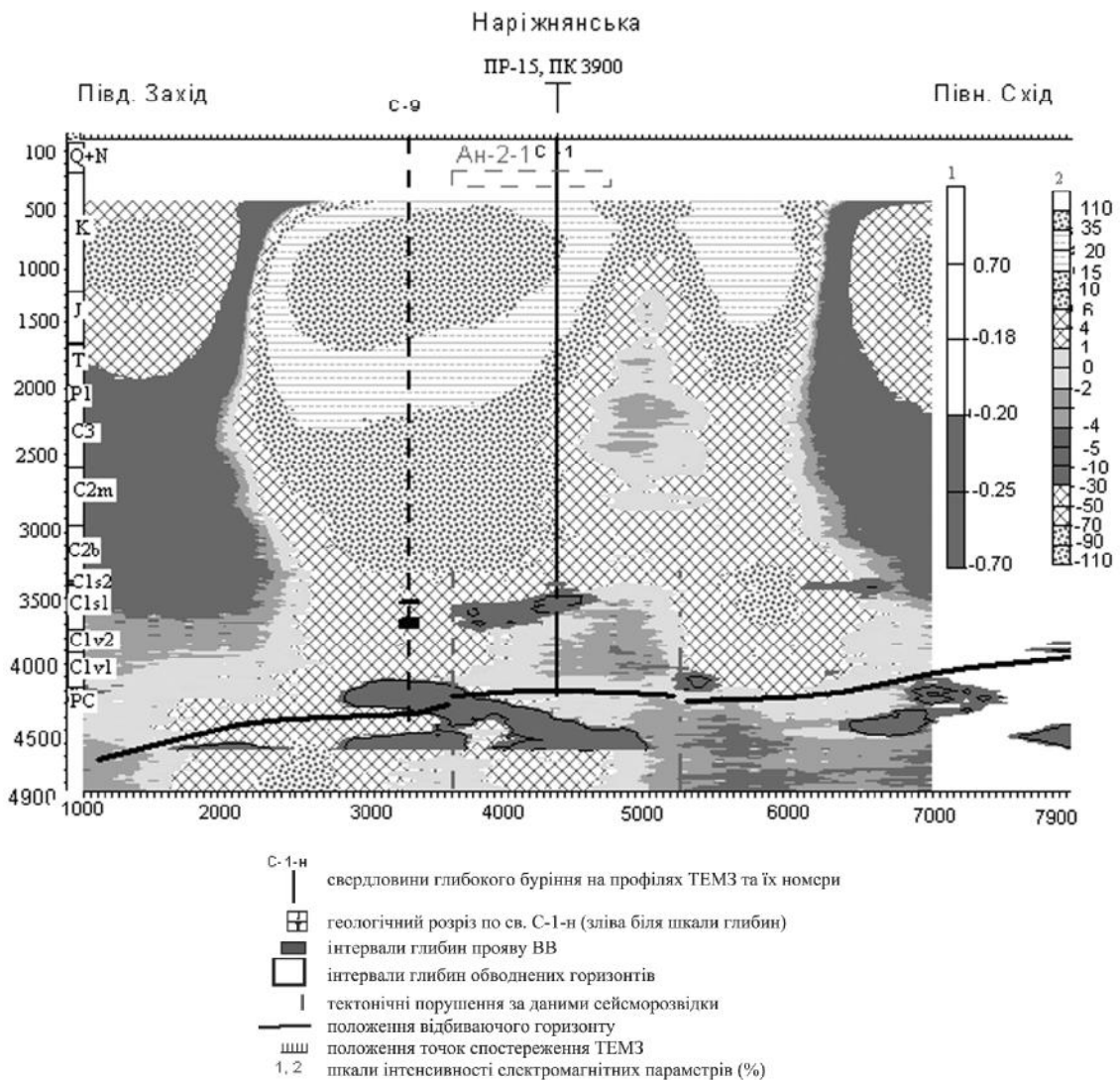


Рис. 3. Вертикальні розрізи електромагнітних параметрів  $dV_{\text{зв}}$ . (1) та  $nF_{\text{сум}}$ . (2) по ПР 2 Наріжнянської структури. Пошукові роботи

скучення ВВ, оскільки вона не підстилається аномалією зменшених значень параметра  $nF_{\text{сум}}$ .

На площі досліджень в південно-східній частині незгідного скиду виділена площа пласта аномалія Ан 3 в межах ПР 19 (рис. 6), ПР 23, ПР 16, яка за електромагнітними властивостями подібна аномалії Ан 1.

Виділено також дві аномалії (Ан 1, Ан 3) мінімальних значень параметра  $d1F_{\text{сум.серед.}}$  в інтервалі глибин 3500–3600 м (рис. 7). Вони характеризують найбільшу сталість геоелектричних властивостей параметра вертикальних градієнтів зміни напруженості ВЕП цих ділянок площини.

Площа аномалії Ан 3 (рис. 7), на думку авторів, є найбільш перспективною на знаходження ВВ у інтервалі глибин 3400–3900 м. Глибина аномального шару складає 3300–3900 м.

На вертикальному розрізі ПР 9, що проходить в західній частині Шилівської структури (рис. 6), видно, що св. С-18 (ПК 3100) і С-3 (ПК 3650) знаходяться в межах зони зменшених значень параметра  $nF_{\text{сум}}$ . Позитивні аномалії параметра  $dV_{\text{зв}}$  не подібні Ан 2-1. В межах ПР 9 не визначено аномалій, перспективних на ВВ.

Результати інтерпретації даних ТЕМЗ на профілях ПР 2, ПР 4, ПР 9 показують, що тільки продуктивна свердловина С-1 (Ан 2-1) розташована у вертикальній зоні з більшими значеннями параметра  $nF_{\text{сум}}$ . Непродуктивні свердловини С-4, С-3, С-18 знаходяться в зонах з меншими значеннями вертикального градієнта. Крім цього, пласта аномалія Ан 2-1 значно відрізняється від інших, оскільки вона підстилається обводненими горизонтами, які проявляються

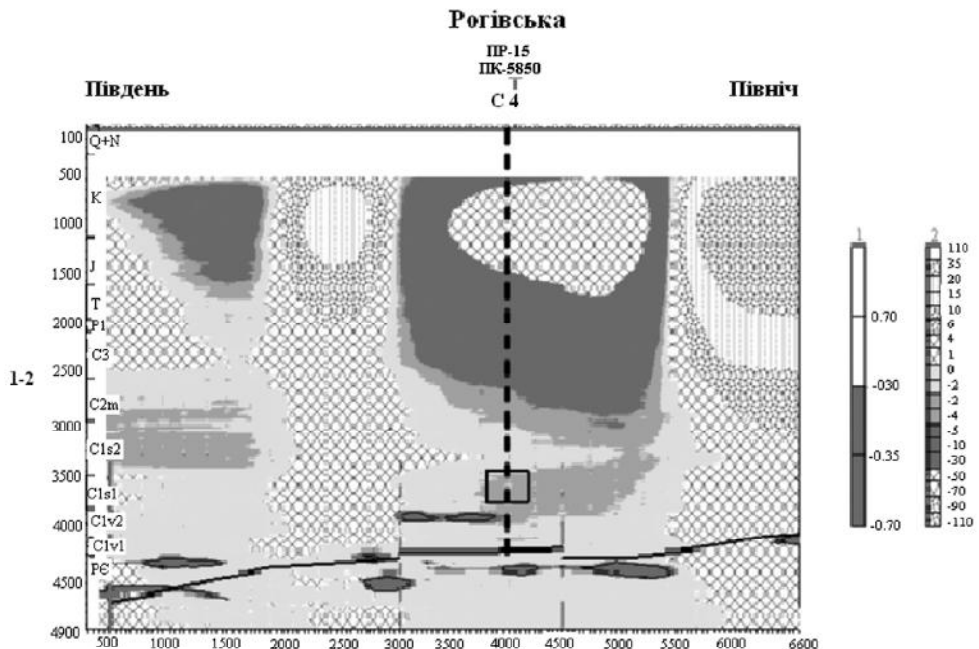


Рис. 4. Вертикальні розрізи електромагнітних параметрів  $dV_{\text{зв.}}$  (1) та  $nF_{\text{сум.}}$  (2) Рогівської структури по ПР 4. Пошукові роботи. Умов. позн. див. на рис. 3

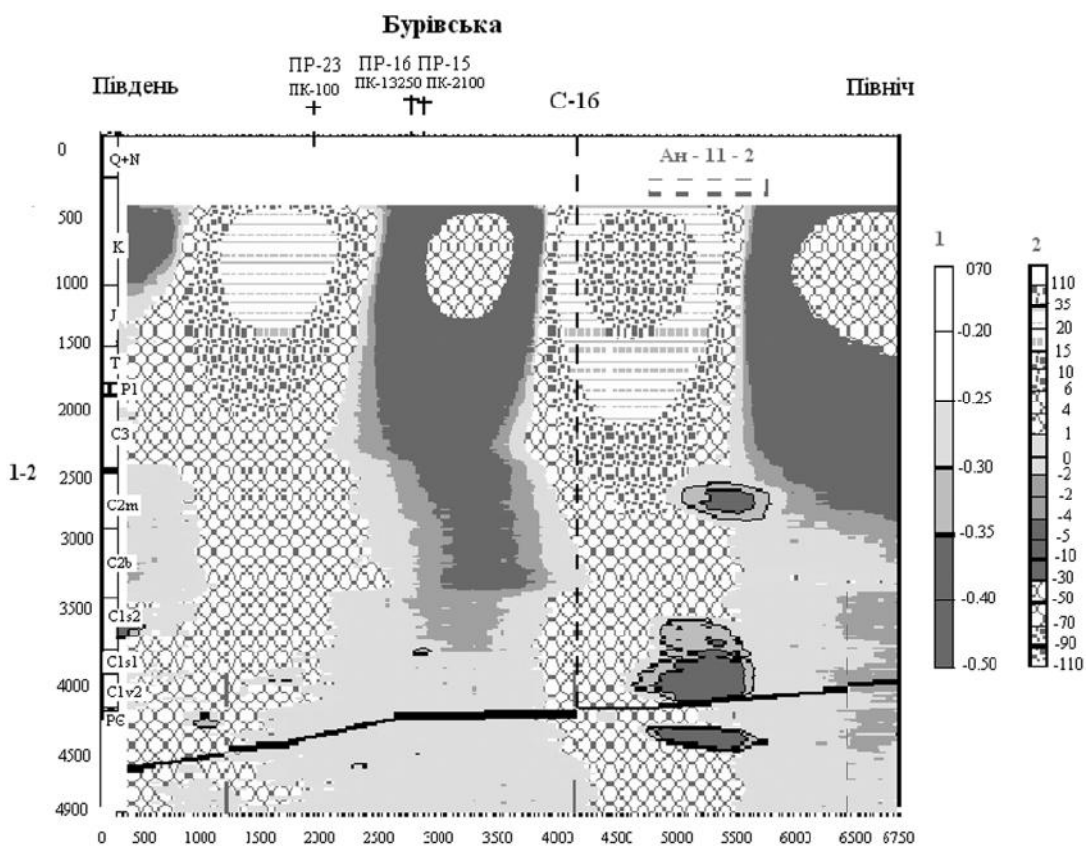


Рис. 5. Вертикальні розрізи електромагнітних параметрів  $dV_{\text{зв.}}$  (1) та  $nF_{\text{сум.}}$  (2) Бурівської структури по ПР 11. Пошукові роботи. Умов. позн. див. на рис. 3

## Шилівська

Півн. Захід

ПР-16 ПР-15  
ПК-1200 ПК-12300  
Ан-19-3 ТТ

Півд. Схід

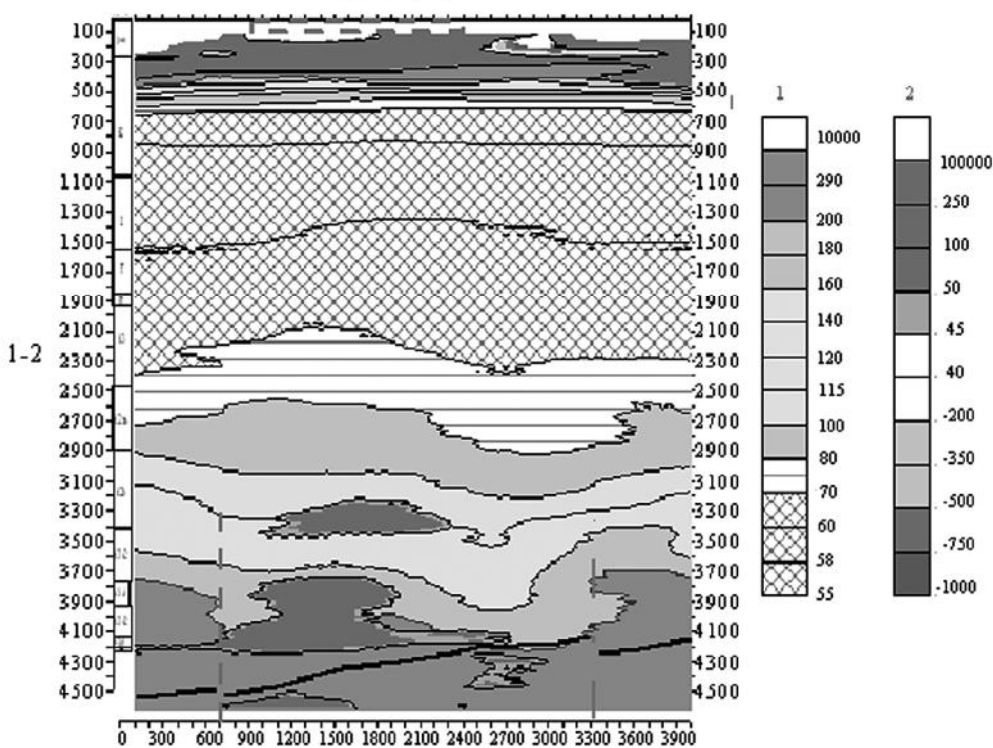


Рис. 6. Вертикальні розрізи електромагнітних параметрів  $dV_{3B}$ . (1) та  $nFi_{sym}$ . (2) Шилівської структури по ПР 19. Пошукові роботи. Умов. поєн. див. на рис. 3

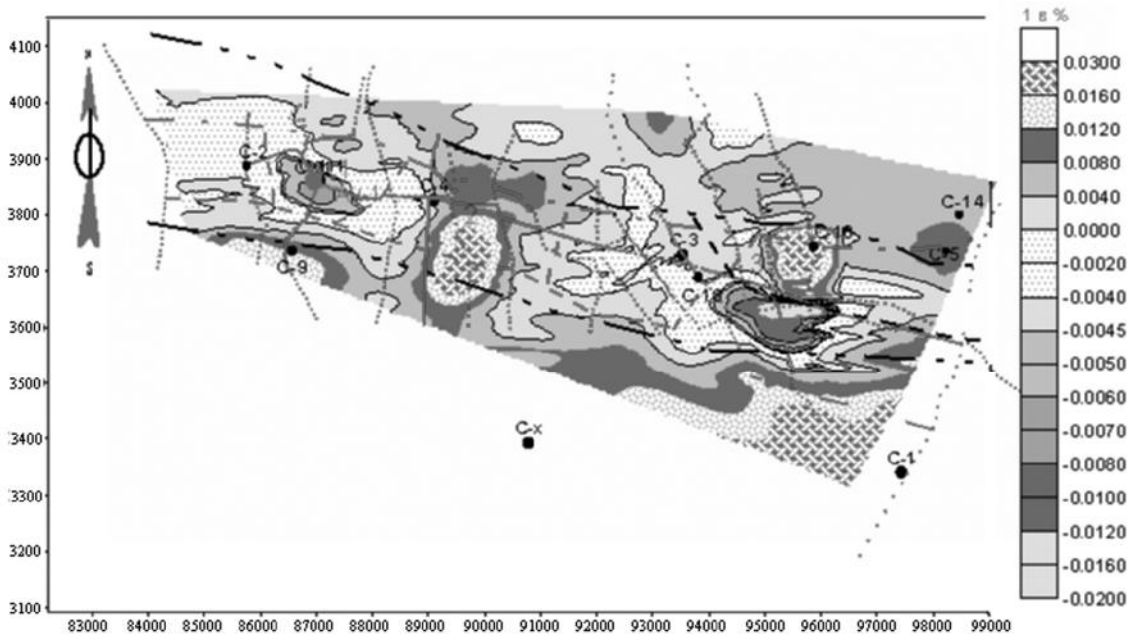


Рис. 7. Карта електромагнітного параметру  $d1Fi_{sym, серед.}$  Наріжнянської площа в інтервалі глибин дослідження 3500–3600 м. Деталізаційні роботи. Умов. поєн. див. на рис. 2

пластовими аномаліями зменшених значень параметра  $nF_{\text{сум}}$ .

Ці електромагнітні особливості вертикальних розрізів покладені в основу виділення перспективних аномалій на Наріжнянській площі.

На всіх аномаліях, виявлених в процесі пошукових робіт, були проведені деталізаційні роботи, в результаті яких виділено чотири перспективні: Ан 1 – Наріжнянська (ПР 2, глибина 3400–3600 м, ПР 15, глибина 3400 м, ПР 10, глибина 3380 м); Ан 2 – Бурівська (ПР 11, глибина 3500–4000 м, ПР 13, глибина 3400–4000 м; ПР 23, глибина 3400–4000 м); АН 3 – Шилівська (ПР 16, глибина 3300–3900 м; ПР 19, глибина 3300–3900 м; ПР 23, глибина 3800–4000 м) та АН 4 – Войтенківська (ПР 15, глибина 3400 м; ПР 6, глибина 3550–3900 м).

Просторові межі аномалій, в цілому, збігаються з розломами (особливо крайові порушення) або мають спільне просторове спрямування (зона, в якій знаходяться позитивні структури).

Виходячи з викладеного, можна стверджувати, що Наріжнянська, Рогівська та північна частина Бурівської структури є найбільш перспективними ділянками Наріжнянської площині з точки зору наявності ВВ.

Результати робіт на Наріжнянській площині показали, що метод ТЕМЗ може використовуватись в комплексі пошуково-розвідувальних робіт на ВВ при дослідженнях сейсмічних чи інших

аномалій, визначені глибин залягання шарів аномальних електромагнітних властивостей, перспективних на скupчення ВВ. Застосування ТЕМЗ на попередніх стадіях пошуків родовищ ВВ може сприяти більш раціональній постановці сейсморозвідувальних робіт та закладанню свердловин.

1. Геология и нефтегазоносность Днепровско-Донецкой впадины. Нефтегазоносность / Отв. ред. Шпак П.Ф. – К.: Наук. думка, 1989. – 204 с.
2. Нефтегазоперспективные объекты Украины. Нефтегазоносность фундамента / Чебаненко И.И., Краюшин В.А., Клочко В.П. и др. – Киев: Наук. думка, 2002. – 296 с.
3. Финчук В. В., Скопиченко И. М. Метод точечного электромагнитного зондирования и его возможности // Екологія і природокористування. – Дніпропетровськ, 2003. – Вип. 6. – С. 169–172.
4. Финчук В. В., Скопиченко И. М., Новиков А. В. Метод точечного электромагнитного зондирования. Теория и способы обработки // Там же. – С. 173–178.

<sup>1</sup>ДП НДЦ "Георесурс" НАН, Мінприроди та Мінпромполітики України,

Стаття надійшла  
Київ 30.06.11

<sup>2</sup>Ін-т геол. наук НАН України,  
Київ  
E-mail: skopychenko@ukr.net